



*With the use of an approximated analytical method is researched the solidification process of cylindrical castings during continuous cast in a crystallizer made from several layers.*

Е. И. МАРУКОВИЧ, А. М. БРАНОВИЦКИЙ,  
В. А. ХАРЬКОВ, ИТМ НАН Беларуси

## РАСЧЕТ ЗАТВЕРДЕВАНИЯ ЦИЛИНДРИЧЕСКОЙ НЕПРЕРЫВНОЙ ОТЛИВКИ

УДК 621.74.047.001.57

Создание новых и совершенствование существующих способов непрерывной разливки невозможно без теоретического анализа совокупности факторов, влияющих на стабильность и производительность процесса непрерывного литья, а также на качество непрерывной заготовки. Для анализа непрерывного литья разрабатываются инженерные методы [1, 2], которые позволяют оценивать распределение температур по толщине и поверхности слитка с учетом конструкции кристаллизатора, а также производить расчет затвердевания непрерывного слитка в процессе литья, что дает возможность использовать эти методы при создании систем автоматического управления тепловым режимом слитка.

Принципиальная схема процесса непрерывного литья приведена на рис. 1. Расплавленный металл 1 из тигля 2 поступает в кристаллизатор. В графитовой втулке 7 кристаллизатора формируется отливка 5, которая циклически (движение-остановка) извлекается из кристаллизатора тянущими валками 6.

Разработан метод расчета тепловых полей отливки с использованием приближенного аналитического решения задачи теплопроводности при граничных условиях 3-го рода на границах отливки, втулки и кристаллизатора. Предполагается, что теплота перегрева полностью отводится в кристаллизаторе, а жидкий металл в лунке отливки, за пределами кристаллизатора, имеет постоянную температуру  $T_{кр}$  [2].

Перед расчетом охлаждения отливки необходимо оценить предварительно тепловой поток через охлаждающую систему графит — металлический корпус — вода. Для расчета температурных полей в этой системе воспользуемся уравнением теплопроводности. В общем случае оно имеет вид

$$\operatorname{div}(\lambda \operatorname{grad} T) + Q = \frac{\partial}{\partial \tau} (c \rho T), \quad (1)$$

где  $T$  — температура;  $\lambda$  — теплопроводность среды;  $c$  — теплоемкость;  $\rho$ ,  $\tau$  — соответственно плотность и время;  $Q$  — функция источников теплоты кристаллизации. Для получения аналитического решения будем считать, что параметры  $\lambda$ ,  $c$ ,  $\rho$  не зависят от координат и температуры.

Далее, считая слои между металлом и водой (металлический корпус и графит) достаточно тонкими, т. е. пренебрегая производной по времени и учитывая отсутствие источников тепла, получаем уравнение теплопроводности для этих слоев

$$\frac{\partial^2 T}{dr^2} + \frac{1}{r} \frac{\partial T}{\partial r} = 0. \quad (2)$$

Для решения этого уравнения в зоне металлического корпуса заменим  $S = \frac{\partial T}{\partial r}$ . Тогда (2) примет

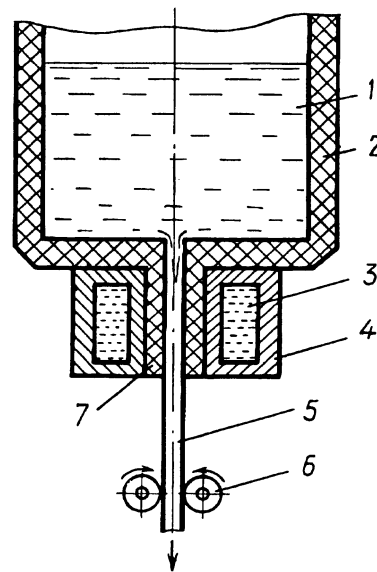


Рис. 1. Принципиальная схема установки непрерывного литья: 1 — металл; 2 — тигель; 3 — вода; 4 — корпус кристаллизатора; 5 — отливка; 6 — тянущие валки; 7 — графитовая втулка

вид  $\frac{\partial S}{dr} + \frac{1}{r}S = 0$ . Отсюда имеем  $\ln S = -\ln r + A$ , где  $A$  — константа, определяемая из граничных

условий. Тогда  $S = e^{-\ln r + A} = \frac{A_1}{r}$  ( $A_1$  — константа, определяемая из граничных условий). Здесь и далее индекс 1 относится к отливке, индекс 2 — к графиту, индекс 3 — к металлическому корпусу,  $r=r_1$  определяет границу металл—графит,  $r=r_2$  — границу графит—корпус,  $r=r_3$  — границу корпус—вода.

Далее, преобразуя  $\frac{dT}{dr} = \frac{A_1}{r}$ , имеем

$$T_1 = A_1 \ln r + B_1, \quad (3)$$

где константы  $A_1$  и  $B_1$  определяются из граничных условий.

Аналогично для графита предположим

$$T_2 = A_2 \ln r + B_2. \quad (4)$$

Произведем оценку граничных условий.

1. На границе вода—корпус примем граничное условие 3-го рода:

$$\lambda_3 \frac{\partial T_3}{dr} = \alpha_{В-К}(T_B - T_K)|_{r=r_3}, \quad (5)$$

где  $\alpha_{В-К}$  — коэффициент теплопередачи, вычисляемый из критерия Нуссельта [3].

2. На границе графит—корпус в качестве граничного условия положим равенство потоков тепла

$$\lambda_3 \frac{dT_3}{dr} \Big|_{r=r_2} = \lambda_2 \frac{dT_2}{dr} \Big|_{r=r_2} \quad (6)$$

и температур  $T_1=T_2$  при  $r=r_2$ . Это соответствует отсутствию значительного термосопротивления на данной границе по сравнению с двумя остальными.

3. На границе графит—металл

$$\lambda_2 \frac{\partial T_2}{dr} = \alpha_{Г-М}(T_G - T_M). \quad (7)$$

Таким образом, используя выражения (3)—(7), получаем уравнения, из которых можно найти коэффициенты  $A_1$ ,  $B_1$ ,  $A_2$ ,  $B_2$  и тем самым исключить из рассмотрения корпус и графит, связывая непосредственно граничные условия на "фиктивной" границе металл—вода:

$$\lambda_3 \frac{A_1}{r_3} = \lambda_{В-К}(T_B - A_1 \ln r_3 - B_1), \quad (8)$$

$$\lambda_3 \frac{A_1}{r_3} = \lambda_2 \frac{A_2}{r_2}, \quad (9)$$

$$A_1 \ln r_2 + B_1 = A_2 \ln r_2 + B_2, \quad (10)$$

$$\lambda_2 \frac{A_2}{r_3} = \lambda_{Г-М}(A_2 \ln r_1 + B_2 - T_M). \quad (11)$$

Далее из (9), (10) находим

$$B_1 = A_2 \ln r_2 + B_2 - \frac{\lambda_2 r_3 A_2}{\lambda_3 r_2} \ln r_2.$$

Преобразуя (8) и (9), получаем

$$A_2 \left( \frac{\lambda_2}{r_3} - \alpha_{В-К} \frac{\lambda_2}{\lambda_3} (\ln r_2 - \ln r_3 + \ln r_2) \right) + B_2 \alpha_{В-К} = \lambda_{В-К} T_B,$$

$$A_2 \left( \frac{\lambda_2}{r_1} - \alpha_{Г-М} \ln r_1 \right) - \alpha_{Г-М} B_2 = -\lambda_{Г-М} T_M.$$

Запишем эти уравнения в виде системы уравнений:

$$\begin{cases} A_2 a_{11} + B_2 a_{12} = \alpha_{В-К} T_B, \\ A_2 a_{21} + B_2 a_{22} = -\alpha_{Г-М} T_M, \end{cases} \quad (12)$$

где  $a_{11} = \frac{\lambda_2}{r_3} - \lambda_{В-К} \frac{\lambda_2}{\lambda_3} (\ln r_2 - \ln r_3) + \ln r_2$ ;  $a_{12} = \lambda_{В-К}$ ;  $a_{21} = \frac{\lambda_2}{r_1} - \alpha_{Г-М} \ln r_1$ ;  $a_{22} = -\alpha_{Г-М}$ .

Решая систему уравнений (12), получаем

$$A_2 = \frac{\alpha_{В-К} T_B a_{22} + \alpha_{Г-М} T_M a_{12}}{a_{11} a_{22} - a_{21} a_{12}}, \quad (13)$$

$$B_2 = \frac{\alpha_{В-К} T_B a_{21} + \alpha_{Г-М} T_M a_{11}}{a_{12} a_{21} - a_{22} a_{11}}. \quad (14)$$

Положим

$$D = a_{11} a_{22} - a_{21} a_{12}, \quad (15)$$

тогда температура графита на поверхности контакта с металлом

$$A_2 \ln r_1 + B_2 = \frac{\alpha_{В-П} T_B a_{22} + \alpha_{Г-М} T_M a_{12}}{D} \ln r_1 - \left( \frac{\alpha_{В-К} T_B a_{21} + \alpha_{Г-М} T_M a_{11}}{D} \right)$$

и граничные условия для металла запишем в виде

$$\lambda_M \frac{dT_M}{dr} = \alpha_{Г-М} \left( \frac{\alpha_{В-К} T_B a_{22} + \alpha_{Г-М} T_M a_{12}}{D} \ln r_1 - \frac{\alpha_{В-К} T_B a_{21} + \alpha_{Г-М} T_M a_{11}}{D} - T_M \right). \quad (16)$$

Из уравнений (13) — (16) можно выразить коэффициенты  $A_1$ ,  $B_1$ ,  $A_2$ ,  $B_2$ .  
Так, например:

$$A_2 = \frac{-\alpha_{Г-М} \alpha_{В-К} T_B + \alpha_{Г-М} T_M a_{11}}{-D},$$

где

$$D = -\frac{\lambda_2}{r_3} \alpha_{Г-М} - \frac{\lambda_2}{r_1} \alpha_{В-К} + \alpha_{В-К} \alpha_{Г-М} \left[ \frac{\lambda_2}{\lambda_3} \ln \frac{r_2}{r_3} + \ln \frac{r_1}{r_2} \right];$$

$$a_{11} = \frac{\lambda_2}{r_3} - \alpha_{В-К} \left[ \frac{\lambda_2}{\lambda_3} \ln \frac{r_2}{r_3} - \ln r_2 \right].$$

Подставив снова выражения для коэффициентов  $A_2$  и  $B_2$  в уравнение для границы графит—металл (записав  $T_2$  как  $T_2 = A_2 \ln r + B_2$ ), можно прийти к новому граничному условию на поверхности контакта металла и графита, связывающему температуры металла и постоянную температуру охлаждающей воды:

$$\lambda_M \frac{\partial T_M}{\partial r} = X \alpha_{Г-М} (T_G - T_M), \quad (17)$$

где  $X$  — поправочный коэффициент, определяющий эффективное уменьшение теплопроводности за счет наличия графитовой втулки, корпуса кристаллизатора и соответствующих уменьшений теплового

потока на границах сред. Коэффициент  $X$  можно выразить как:  $X = -\frac{\alpha_{В-К} \lambda_2}{r_1 D}$ . Это позволяет свести задачу к классическому случаю охлаждения отливки с границей металл—среда с постоянной температурой.

Рассмотрим данный коэффициент подробнее. В пределе при  $r_3 \rightarrow \infty$ , но при постоянной разности радиусов, т. е. при  $r_2 - r_1 = \text{const}$  и  $r_3 - r_1 = \text{const}$ , решение задачи будет определять случай охлаждения плоской пластины. При данных соотношениях имеем систему из плоских, а не цилиндрических слоев. При этом выражение для  $X$  примет следующий вид:

$$X = \frac{1}{a_{Г-М} \left( \frac{l_K}{\lambda_K} + \frac{l_r}{\lambda_r} \right) + \frac{a_{Г-М}}{a_{В-П}} + 1},$$

где  $l_K$  — толщина слоя металлической рубашки;  $l_r$  — толщина графитового слоя.  
Соответственно эффективная величина  $a_{эфф}$  имеет вид:

$$a_{эфф} = X a_{Г-М} = \frac{1}{\frac{l_K}{\lambda_K} + \frac{l_r}{\lambda_r} + \frac{1}{a_{В-К}} + \frac{1}{a_{Г-М}}}.$$

Отметим, что и для случая плоской отливки полученное соотношение отличается от часто используемого варианта, когда для расчета общего термосопротивления просто складываются термосопротивления на всех границах, т. е. когда

$$a_{\text{эфф}} = \chi a_{\Gamma-\text{м}} = \frac{1}{\frac{1}{a_{\text{В-К}}} + \frac{1}{a_{\Gamma-\text{м}}}}. \quad (18)$$

Вместе с тем формула (18) может использоваться при малых толщинах слоев  $l_{\text{к}}$  и  $l_{\text{г}}$  ( $l_{\text{к}} \ll \lambda_{\text{к}}$  и  $l_{\text{г}} \ll \lambda_{\text{г}}$ ).

Для цилиндрической отливки данный коэффициент может значительно отличаться от случая плоской отливки (рис 2). Чем меньше радиус отливки, тем отличие выше. Как видно из рисунка, для отливок радиусом 10 мм и менее значение поправочного коэффициента  $\chi$  теплопроводности в несколько раз выше, чем для случая плоской отливки.

Для расчетов использовался аналитический алгоритм [4], позволяющий рассчитывать температурное поле отливки, количество переданной теплоты и линейную скорость кристаллизации для цилиндрической отливки. При этом имеем следующее соотношение, связывающее время затвердевания и толщину корки:

$$F = B_1 \delta + B_2 \delta^2 + B_3 \delta^3 + B_4 \ln \left( 1 + \frac{\delta G}{n} \right), \quad (19)$$

где  $F$  — приведенное время:  $F = \frac{a_1 \tau}{r_1^2}$ ;  $G = \frac{\omega r_1}{\lambda_{\text{м}}}$ ;  $\tau$  — время;  $\delta$  — относительная толщина корки;  $n$  — порядок степени параболы, определяющей распределение температурного поля в сечении отливки;

$$B_1 = \frac{1}{G} \left( \Omega + \frac{1}{n+1} \right) + \frac{n}{(n+1)(n+2)G^2};$$

$$B_2 = \frac{1}{2n} \left( \Omega + \frac{1}{n+1} \right) - \frac{1}{2G} \left( L + \frac{1}{(n+1)(n+2)} \right);$$

$$B_3 = -\frac{1}{3n} \left( \Omega + \frac{2}{(n+1)(n+2)} \right);$$

$$B_4 = -\frac{n}{(n+1)G^2} \left( 1 + \frac{n}{(n+2)G} \right);$$

где  $\Omega = \frac{L}{c_{\text{м}}(T_3 - T_{\text{с}})}$ ;  $L$  — удельная теплота кристаллизации;  $T_3$  и  $T_{\text{с}}$  — соответственно температуры затвердевания металла и охлаждающей среды;  $c_{\text{м}}$  — удельная теплоемкость металла.

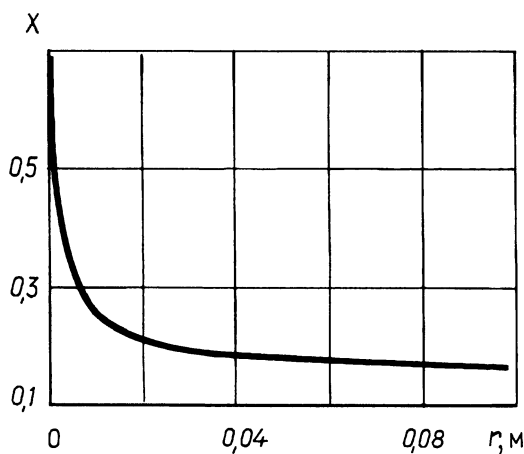


Рис. 2. Зависимость поправочного коэффициента  $\chi$  от радиуса отливки

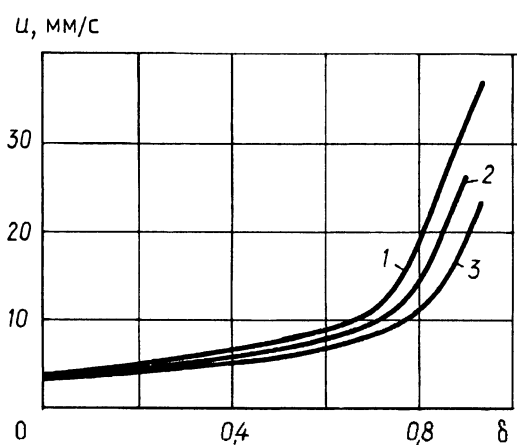


Рис. 3. Зависимость скорости роста корки от относительной толщины корки для отливок из меди: 1 — диаметр 4 мм; 2 — 6; 3 — 8 мм

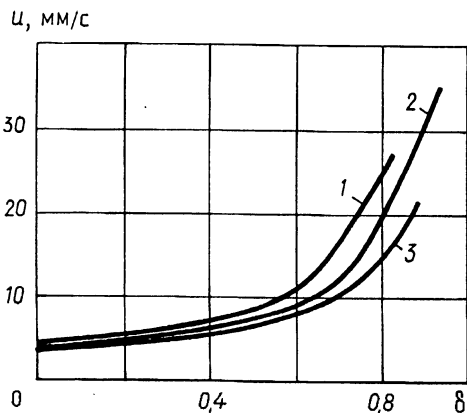


Рис. 4. Зависимость скорости роста корки от относительной толщины корки для отливок из алюминия. Обозначения те же, что и на рис. 3.

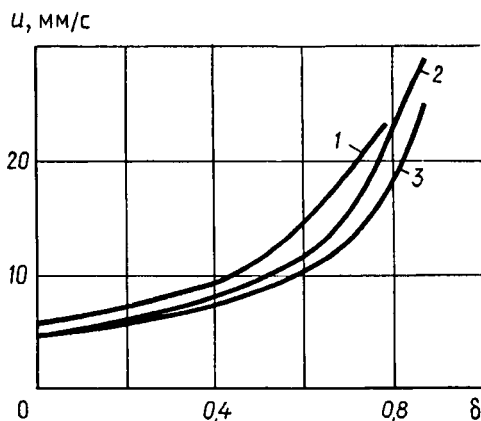


Рис. 5. Зависимость скорости роста корки от относительной толщины корки для отливок из золота. Обозначения те же, что и на рис. 3.

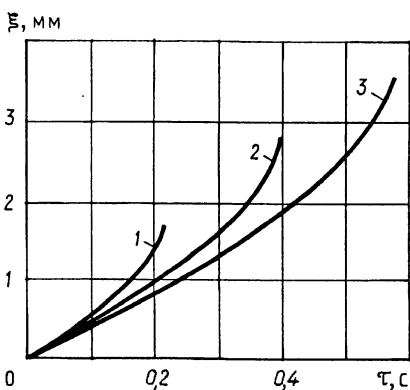


Рис. 6. Рост корки для отливок из алюминия: 1 — диаметр 4 мм; 2 — 6; 3 — 8 мм

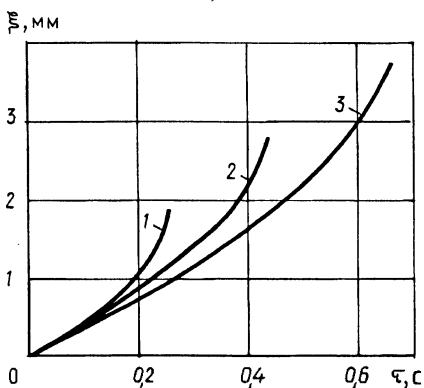


Рис. 7. Рост корки для отливок из меди. Обозначения те же, что на рис. 6

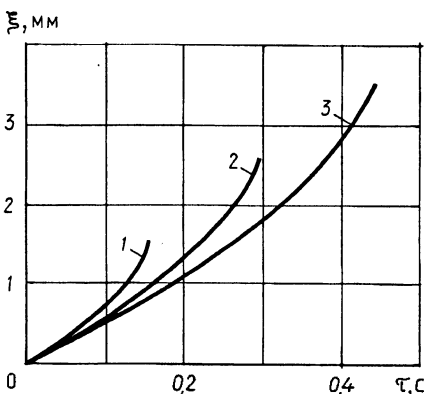


Рис. 8. Рост корки для отливок из золота. Обозначения те же, что на рис. 6

Трансцендентное уравнение для толщины корки (19) решалось с помощью алгоритма деления отрезка пополам. Данный алгоритм расчета был реализован в программе для ЭВМ.

Проводили численные эксперименты по расчету температурных полей отливок из меди, алюминия и золота. Исследовали тепловые условия формирования отливок диаметром 4, 6 и 8 мм. В результате исследований получены зависимости толщины твердой корки от времени затвердевания. Построены зависимости скорости роста корки от относительной толщины корки (рис. 3—5). Анализ полученных результатов показывает, что скорость роста корки с момента заливки и до полного затвердевания отливки увеличивается для исследуемых металлов в 5—7 раз. При затвердевании 50—60% металла наблюдается заметное повышение скорости роста корки. Средняя за период затвердевания отливки скорость роста корки составила для отливок диаметром 4, 6 и 8 мм: для алюминия — 8,3, 7,7, 6,3 мм/с; для меди — 7,8, 6,5, 5,9 мм/с; для золота — 9,9, 9,4, 8,3 мм/с.

На рис. 6—8 приведены зависимости толщины корки от времени. Из рисунков видно, что алюминиевые отливки диаметром 4, 6 и 8 мм полностью затвердевают за 0,22, 0,4, 0,58 с, медные соответственно — за 0,26, 0,44, 0,66 с и золотые — за 0,16, 0,3 и 0,43 с после снятия перегрева.

### Литература

- Капитонов В. С., Иванов А. А., Константинов В. С. Методика расчета затвердевания непрерывного слитка // Новое в создании металлургических машин. М., 1985. С. 138—145.
- Анисович Г. А., Марукович Е. И., Дозмаров В. В. Расчет затвердевания плоской непрерывнолитой алюминиевой отливки // Металлургия и литейное производство. Мн.: Беларуская навука, 1998. С. 90—96.
- Баландин Г. Ф. Основы теории формирования отливки. Ч. 1. М.: Машиностроение, 1976.
- Вейник А. И. Теория затвердевания отливки. М.: Машгиз, 1960.